

СООБЩЕНИЯ
ОБЪЕДИНЕННОГО
ИНСТИТУТА
ЯДЕРНЫХ
ИССЛЕДОВАНИЙ
ДУБНА



С 323

И-672

P2 - 11139

1473/2-78

В.И.Иноземцев

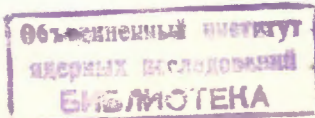
КОЛЛЕКТИВНЫЕ ЭФФЕКТЫ
И ИМПУЛЬСНОЕ ПРИБЛИЖЕНИЕ
В ВЫСОКОЭНЕРГЕТИЧЕСКОМ ПОТЕНЦИАЛЬНОМ
РАССЕЯНИИ

1977

P2 - 11139

В.И.Иноземцев

КОЛЛЕКТИВНЫЕ ЭФФЕКТЫ
И ИМПУЛЬСНОЕ ПРИБЛИЖЕНИЕ
В ВЫСОКОЭНЕРГЕТИЧЕСКОМ ПОТЕНЦИАЛЬНОМ
РАССЕЯНИИ



Иноземцев В.И.

P2 - 11139

Коллективные эффекты и импульсное приближение
в высокогенергетическом потенциальном рассеянии

В точно решаемой одномерной модели трех частиц, взаимодействующих посредством сил нуклевого радиуса действия, показано, что высокогенергетическое рассеяние с большими переданными импульсами обусловлено коллективными эффектами. Произведено сравнение точного спектра частиц, рассеянных на 180° , с результатами импульсного приближения.

Работа выполнена в Лаборатории теоретической физики, ОИЯИ.

Сообщение Объединенного института ядерных исследований. Дубна 1977

Inosemtsev V.I.

P2 - 11139

Collective Phenomena and Approximation in High
Energy Potential Scattering

It is shown in exactly solved one-dimensional three-body scattering model that the high-energy potential scattering with high momentum transfer is determined by collective phenomena. The comparison of exact spectrum of particles scattered to 180° with results of impulse approximation is performed.

The investigation has been performed at the Laboratory
of Theoretical Physics.

Communication of the Joint Institute for Nuclear Research. Dubna 1977

© 1977 Объединенный институт ядерных исследований Дубна

§ I. Введение

Применение импульсного приближения в той или иной форме является одним из наиболее эффективных методов исследования многочастичных реакций. Так, в высокогенергетическом рассеянии на связанных состояниях нескольких частиц (молекулах, ядрах) часто используется приближение квазисвободного рассеяния, впервые предложенное Гольдбергером^{1/} для рассеяния нейтронов на ядрах, рассматриваемых как ферми-газ слабо связанных нуклонов:

$$\frac{d\sigma_{nA}}{d\Omega} = A \int p(\vec{p}) d^3p \frac{v(\vec{p})}{v_0} \frac{d\sigma_{nn}}{d\Omega}(\vec{p}). \quad (I)$$

Здесь $\frac{d\sigma_{nA}}{d\Omega}$ – сечение рассеяния нейтрона на ядре, содержащем A нуклонов, $p(\vec{p})$ – импульсное распределение нуклонов в ядре; $\frac{d\sigma_{nn}}{d\Omega}(\vec{p})$ – сечение рассеяния нейтрона на нуклоне с импульсом \vec{p} ; $v(\vec{p})/v_0$ – кинематический фактор, учитывающий изменение плотности потока. Помимо общих условий применимости импульсного приближения,

$$R_{cf} \gg r, \quad E \gg \epsilon \quad (2)$$

(E – энергия падающей частицы, r – радиус ее взаимодействия с частицей мишени, R_{cf} – средний радиус мишени, ϵ – энергия связи), для использования формулы (I) необходимо также выполнение условия^{2/}

$$\frac{\vec{Q}^2}{2m} \gg \epsilon \quad , \quad (\vec{Q} \text{ – переданный импульс}) \quad (3)$$

обеспечивающего применимость квазисвободной кинематики.

Обычно предполагается^{/2/}, что при условиях (2-3) приближение (I) позволяет корректно описать сечение рассеяния в широком диапазоне $|Q|$. Однако в 1957 г. Д.И.Блохинцевым^{/3/} при анализе рассеяния протонов высокой энергии на ядрах была высказана идея о том, что в области больших переданных импульсов, кинематически запрещенной для элементарного соударения (в частности, для рассеяния протонов на 180°), приближение квазисвободного рассеяния (I) неприменимо, и процесс происходит за счет коллективного механизма – соударения с флуктуацией ядерной материи. Действительно, эффективный радиус мишени $R_{\text{эфф}} \sim \frac{\hbar}{p}$ в указанной области ввиду значительной величины переданного импульса уже не удовлетворяет условию (2), и взаимодействие должно иметь коллективный характер, хотя силы, действующие между нуклонами, предполагаются двухчастичными. В настоящее время можно считать твердо установленным тот факт, что релятивистские модификации формулы (I) не позволяют объяснить экспериментально наблюдаемые выходы частиц в области, запрещенной кинематикой элементарного акта при столкновении релятивистских ядер^{/4,5/} и рассеянии протонов высокой энергии на ядрах^{/6,7/}.

Наблюдаемые кумулятивные особенности высокоэнергетических ядерных реакций удается успешно объяснить в ряде феноменологических моделей^{/3,8-II/}, учитывая тем или иным способом взаимодействие падающих частиц с группой нуклонов ядра, не сводящееся к последовательным, разделенным в пространстве и времени актам перерассеяния. Следует отметить, что в рамках потенциального рассеяния исследование подобных эффектов, по-видимому, требует точного (либо асимптотически точного в пределе $E \rightarrow \infty$) решения многочастичной задачи и на данном этапе развития теории неосуществимо для реалистических нуклон-нуклонных потенциалов.

Цель данной работы – показать на примере простой точно решаемой модели трех частиц, взаимодействующих посредством сил нулевого радиуса действия, что коллективные эффекты при рассеянии назад на связанном состоянии присутствуют и при выполнении условий применимости импульсного приближения (2-3). Рассмотренный механизм коллективного взаимодействия соответствует дифракции падающей волны в плоскости относительных координат на неоднородностях, обусловленных двухчастичными потенциалами взаимодействия, и не может быть сведен к предложенному в^{/3/}, поскольку условие $R_{\text{эфф}} \gg r$ выполняется в модели независимо от переданного импульса ввиду предположения о нулевом радиусе действия двухчастичных сил. Рассеяние в модели является потенциальным, и отклонения от импульсного приближения не связаны с релятивизацией^{/12/} волновой функции связанного состояния.

Следует подчеркнуть, что выбранная простейшая модель, естественно, не содержит всех особенностей реальной экспериментальной ситуации, и ни в коей мере не претендует на ее детальное описание. По-видимому, наиболее перспективными в этом отношении являются феноменологические подходы, развивающиеся в^{/8-II/}. Однако можно надеяться, что некоторые основные черты рассмотренного процесса трехчастичного рассеяния окажутся существенными при построении последовательной теории кумулятивных ядерных реакций.

§ 2. Кинематика. Формулировка задачи

Рассмотрим систему трех частиц одинаковой массы m , движение которых предполагается одномерным и описывается гамильтонианом вида

$$H = K + V_{12}(x_1 - x_2) + V_{31}(x_1 - x_3) + V_{32}(x_2 - x_3) \quad (4)$$

$$K = -\frac{1}{2m} (\dot{V}_{x_1}^2 + \dot{V}_{x_2}^2 + \dot{V}_{x_3}^2)$$

Здесь и в дальнейшем для простоты используется система единиц, в которых $\hbar = 1$.

Вводя координату центра масс и относительные координаты

$$\begin{aligned} \bar{z}_1 &= \sqrt{\frac{m}{3}}(x_1 + x_2 + x_3), & x_1 &= \frac{1}{\sqrt{m}}\left(\frac{\bar{z}_1}{\sqrt{3}} + \frac{\bar{z}_2}{\sqrt{6}} + \frac{\bar{z}_3}{\sqrt{2}}\right) \\ \bar{z}_2 &= \sqrt{\frac{m}{6}}(x_1 + x_2 - 2x_3), & x_2 &= \frac{1}{\sqrt{m}}\left(\frac{\bar{z}_1}{\sqrt{3}} + \frac{\bar{z}_2}{\sqrt{6}} - \frac{\bar{z}_3}{\sqrt{2}}\right) \\ \bar{z}_3 &= \sqrt{\frac{m}{2}}(x_1 - x_2), & x_3 &= \frac{1}{\sqrt{3m}}(\bar{z}_1 - \sqrt{2}\bar{z}_2), \end{aligned} \quad (5)$$

представим гамильтониан (4) в виде

$$\begin{aligned} H &= K_{c.m.} + (H_0 + V_{int}), \text{ где} \\ K_{c.m.} &= -\frac{1}{2} \frac{\partial^2}{\partial \bar{z}_i^2}, \quad H_0 = -\frac{1}{2} \left(\frac{\partial^2}{\partial z_1^2} + \frac{\partial^2}{\partial z_2^2} \right), \\ V_{int} &= V_{12}\left(\sqrt{\frac{2}{m}}\bar{z}_3\right) + V_{31}\left(\sqrt{\frac{2}{m}}(z_2 \sin \alpha + z_3 \cos \alpha)\right) + V_{32}\left(\sqrt{\frac{2}{m}}(z_2 \sin \alpha - z_3 \cos \alpha)\right) \\ \alpha &= \pi/3. \end{aligned} \quad (6)$$

Предположим, что потенциалы V_{31} и V_{32} соответствуют силам отталкивания, так что в подсистемах {13} и {23} отсутствуют связанные состояния; в подсистеме {12} существует одно связанные состояние с энергией связи $(-\varepsilon)$, $\varepsilon \geq 0$. Задача о рассеянии падающей частицы 3 с импульсом p_0 на связанном состоянии {12} после выделения движения центра масс сводится к нахождению решений двумерного уравнения Шредингера

$$\begin{aligned} (H_0 + V_{int})\psi(z_2, z_3) &= E\psi(z_2, z_3), \\ E &= \frac{p_0^2}{3m} - \varepsilon \end{aligned} \quad (7)$$

имеющих вид суммы падающей и рассеянной волн,

$$\psi(z_2, z_3) = e^{-ip_0\sqrt{\frac{2}{m}}z_2}\psi_\varepsilon(\sqrt{\frac{2}{m}}z_3) + \psi_{int}(z_2, z_3), \quad (8)$$

где $\psi_\varepsilon(x)$ – волновая функция связанного состояния подсистемы {12}.

Отметим, что T -матрица одномерного двухчастичного рассеяния в подсистемах {13} и {23} тривиальна и содержит лишь два

элемента, соответствующих вероятности "прокола" частиц друг через друга и рассеяния на 180° в с.п.м. подсистемы (остановки падающей частицы в л.с.). В то же время уравнение (7) содержит все трудности трехчастичной задачи и определяет нетривиальную матрицу рассеяния, описываемую как упругое рассеяние, так и канал с асимптотически свободными состояниями частиц I, 2. Законы сохранения энергии и импульса определяют возможные конфигурации импульсов частиц после рассеяния (в л.с.):

a) упругое рассеяние:

$$1) \quad p_3^{(out)} = p_0, \quad p_{12}^{(out)} = 0 \quad (9.1)$$

$$2) \quad p_3^{(out)} = -\frac{p_0}{3}, \quad p_{12}^{(out)} = \frac{4p_0}{3}; \quad (9.2)$$

b) канал раз渲а связанных состояний:

$$1) \quad p_3^{(out)} = \frac{1}{3}p_0 + 2\sqrt{\frac{p_0^2}{9} - \frac{m}{3}(\varepsilon + \varepsilon_{12})} \quad (10.1)$$

$$p_{12}^{(out)} = \frac{2}{3}p_0 - 2\sqrt{\frac{p_0^2}{9} - \frac{m}{3}(\varepsilon + \varepsilon_{12})}$$

$$2) \quad p_3^{(out)} = \frac{1}{3}p_0 - 2\sqrt{\frac{p_0^2}{9} - \frac{m}{3}(\varepsilon + \varepsilon_{12})} \quad (10.2)$$

$$p_{12}^{(out)} = \frac{2}{3}p_0 + 2\sqrt{\frac{p_0^2}{9} - \frac{m}{3}(\varepsilon + \varepsilon_{12})}.$$

Здесь $p_{12}^{(out)}$, ε_{12} – полный импульс и энергия относительного движения для конечного состояния подсистемы {12}. Отметим, что из (10) следует, в соответствии с (7), соотношение $\varepsilon_{12} \leq \frac{p_0^2}{3m} - \varepsilon$.

В дальнейшем мы будем рассматривать задачи, в которых потенциалы V_{31} и V_{32} имеют вид "бесконечной стени" /I3, I4/, что соответствует полной передаче импульса от падающей частицы к мишени для двухчастичных столкновений {31}, {32}:

$$V_{31}(x) = V_{32}(x) = \lim_{r \rightarrow \infty} V\delta(x). \quad (II)$$

Легко заметить, что при столкновениях, определяемых потенциалами типа (II), для импульсов частиц out -состояний трехчастичного рассеяния должны выполняться условия

$$p_3^{(out)} \leq p_1^{(out)}, p_2^{(out)}, p_{12}^{(out)} \quad (I2)$$

Следовательно, в канале упругого рассеяния возможно лишь полное отражение (9.2); в канале развала могут реализоваться лишь конфигурации (I0.2), причем энергия относительного движения ограничена условием

$$\epsilon_{12} \leq \frac{3}{4} \left(\frac{p_0^2}{3m} - \epsilon \right).$$

Вводя обозначение $\kappa^2 = 2 \left(\frac{p_0^2}{3m} - \epsilon \right) = 2E$, определим область изменения импульса частицы 3 в л.с. после столкновения в канале развала:

$$\sqrt{\frac{m}{6}} (2\kappa - \sqrt{\kappa^2 + 2\epsilon}) \geq -p_3^{(out)} \geq \sqrt{\frac{m}{6}} (\kappa - \sqrt{\kappa^2 + 2\epsilon}) \quad (I3)$$

Не ограничивая общности рассмотрения, предположим для определенности, что частица 3 находится в in -состоянии при $x_3 \rightarrow +\infty$. Рассеяние с потенциалами типа (II) описывается решением уравнения Шредингера

$$(H_0 + V_{12}(\sqrt{\frac{2}{m}} z_3)) \psi(z_2, z_3) = E \psi(z_2, z_3), \quad (I4)$$

имеющим вид (8) в области, указанной на рис. I, и удовлетворяющим на границе этой области условию

$$\psi(z_2, z_3) = 0, \quad z_3 = \pm \sqrt{3}/z_2, \quad (I5)$$

соответствующему непроницаемости потенциальных барьеров (II).

§ 3. Модель

В общем случае не удается представить решение (I4) с граничным условием (I5) в аналитическом виде. Однако для некоторых потенциалов V_{12} можно воспользоваться аналогией /13/ между квантово-

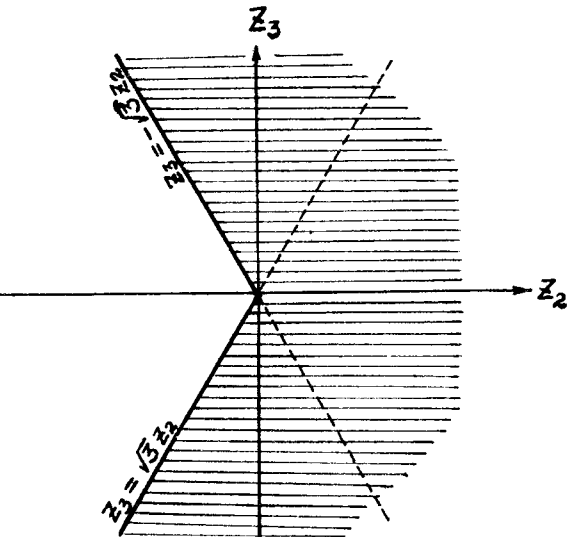


Рис. I. Линии, ограничивающие заштрихованную область, соответствуют координатам частиц $x_3 = x_1$, $x_3 = x_2$. Рассеяние происходит в области $z_2 < 0$, $|z_3| < -\sqrt{3}|z_2|$ ($x_3 > x_1, x_2$)

механическим рассеянием и задачами дифракции электромагнитной волны на препятствиях, подобных изображенному на рис. I, метод решения которых восходит к классическим работам Зоммерфельда (см., например, /15/).

Рассмотрим сначала простейший случай $V_{12}=0$ /14/, в котором уравнение (I4) можно представить в форме

$$\Delta \psi + \kappa^2 \psi = 0, \quad \kappa^2 = 2 \left(\frac{p_0^2}{3m} + \epsilon_{12}^{(o)} \right), \quad (I6)$$

$\epsilon_{12}^{(o)}$ — энергия относительного движения частиц 1,2 в начальном состоянии. Если частицы 1,2 до рассеяния покоятся, то $\epsilon_{12}^{(o)}=0$, и необходимо определить решение (I6), имеющее вид (8)

$$\psi(z_2, z_3) = e^{-ikz_2} + \psi_{int}(z_2, z_3), \quad (17)$$

где первое слагаемое соответствует плоской волне, падающей в направлении оси z_2 . Согласно принципам геометрической оптики и классическим представлениям о рассеянии частиц, естественно было бы ожидать, что ψ_{int} имеет вид суммы плоских волн, соответствующих отражениям волн $e^{-ikz_2} = e^{ikr \cos \varphi}$ от "зеркал" I, II, т.е. передаче импульса от частицы 3 либо частице I, либо частице 2 (рис. 2):

$$\psi_{int} = \text{const} \left(e^{ikr \cos(\varphi - \frac{2\pi}{3})} + e^{ikr \cos(\varphi + \frac{2\pi}{3})} \right), \quad (18)$$

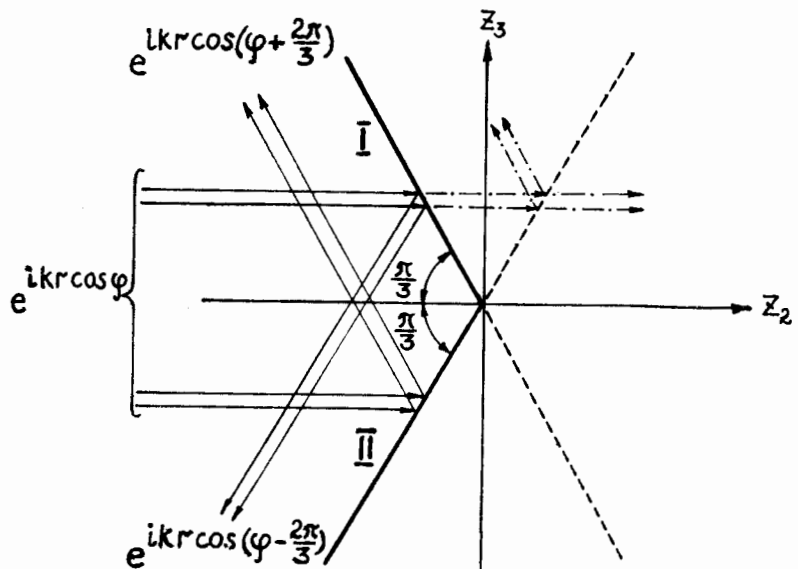


Рис. 2. Рассеяние для случая $V_{12}=0$ согласно геометрической оптике, соответствующей импульсному приближению (I). Падающая плоская волна $e^{ikr \cos \varphi}$ отражается от границ I, II. Ось полярных координат выбрана в направлении $z_2 \rightarrow -\infty$.

(r, φ – полярные координаты в плоскости z_2, z_3 с осью $\varphi=0$ вдоль направления $z_3=0$, $z_2 \rightarrow -\infty$).

Отметим также, что, согласно импульсному приближению (I), частица 3 не может рассеяться на двух невзаимодействующих покоящихся частицах I, II на 180° в л.с. (распределение $\rho(r) \sim \delta(r)$).

Легко, однако, проверить, что решение в виде (17, 18) не удовлетворяет граничным условиям (15) при любом выборе фаз и амплитуд плоских волн (18). Следовательно, точное решение уравнения (16) с граничными условиями (15) не может быть сведено к сумме элементарных волновых функций, описывавших некогерентные процессы, и должно содержать слагаемое, учитывающее коллективное взаимодействие частицы 3 одновременно с частицами I, II *.

В соответствующей задаче рассеяния плоской скалярной электромагнитной волны, впервые решенной Зоммерфельдом, коллективные эффекты проявляются в виде дифракционного слагаемого, описывающего отклонения от геометрической оптики. Точное решение для ψ^{int} можно представить в виде /14/ **

$$\psi_{int} = -e^{ikr \cos(\frac{2\pi}{3} - \varphi)} - e^{ikr \cos(\frac{2\pi}{3} + \varphi)} + \frac{3}{\pi} \cos \frac{3\varphi}{2} \int_0^{\infty} \frac{e^{-ikr \sin x}}{x^2 + \cos^2 \frac{3\varphi}{2}} dx \quad (19)$$

* Указанное коллективное явление не сводится к пространственно-разделенным перерассеянным, которые могли бы иметь место при проницаемых потенциальных барьерах I, II рис. 2. В этом случае падающая волна, пройдя барьер I, могла бы вторично (как показано на рис. 2 штрих-пунктирными линиями) рассеяться на барьере II. Для потенциалов типа (II) и выбранной начальной конфигурации многократное рассеяние отсутствует.

** Отметим, что уравнение (16) с граничными условиями (15) можно представить в форме, допускающей разделение переменных, где $\mathcal{U}(r, \varphi) = \begin{cases} 0, & |\varphi| < \frac{\pi}{3}, \\ +\infty, & |\varphi| \geq \frac{\pi}{3}, \end{cases}$, и решение может быть найдено в виде разложения Конторовича-Лебедева /16, 17/.

Последнее слагаемое в (19) обеспечивает выполнение граничных условий при $\varphi \rightarrow \pm \frac{\pi}{3}$. Его асимптотика при $r \rightarrow \infty$, $|r| < \frac{\pi}{3} - \delta$, $\delta > 0$, представляет собой цилиндрическую волну, расходящуюся от начала координат^{17/}. При $K \rightarrow \infty$ осциллирующий множитель в подинтегральном выражении приводит к обращению интеграла (19) в нуль для всех направлений φ , не приближающихся асимптотически к "границам геометрической оптики" $\varphi = \pm \frac{\pi}{3}$, и, за исключением области $\frac{\pi}{3} - |\varphi| \sim \frac{const}{K}$, рассеяние в пределе $K \rightarrow \infty$ становится некогерентным. Заметим, что угол рассеяния φ связан с импульсом частицы 3 в конечном состоянии соотношением

$$\cos \varphi = \frac{1}{\lambda} + \frac{p_3^{(out)}}{k\sqrt{3m}}, \quad \frac{\pi}{3} - |\varphi| \sim - \frac{p_3^{(out)}}{k},$$

и, следовательно, при $p_0 \rightarrow \infty$ и конечных величинах импульса частицы 3 $p_3^{(out)}$ для рассеяния на 180° , отклонения от геометрической оптики (и соответствующего ей импульсного приближения (I)) будут наблюдаться, несмотря на очевидное выполнение условий (2,3). Интересно отметить, что эксперименты по кумулятивному образованию частиц^{6,7/} выполняются в аналогичной кинематике – исследуются выходы вторичных частиц при конечных величинах их импульса для асимптотических значений энергии падающей частицы.

Подобное вычисление скорости реакции с тремя свободными частицами в начальном и конечном состояниях по известному решению уравнения Шредингера требует построения нестационарной теории рассеяния частиц, заключенных в некоторый конечный объем^{2,18/}. Значительно больший интерес представляет задача о рассеянии на связанном состоянии, в которой вероятность процессов может быть определена независимо от нормировочного объема. Рассмотрим в качестве примера потенциал $V_{12}(x_1 - x_2)$ вида

$$V_{12}(x_1 - x_2) = -V_0 \delta(x_1 - x_2), \quad V_0 > 0, \quad (20)$$

соответствующий, как и потенциалы V_{31} , V_{32} (II), силам нулевого радиуса действия. Двухчастичное уравнение Шредингера в с.ц.м. подсистемы {12} ,

$$\psi''(z) + mV_0 \delta(z)\psi(z) + mE\psi(z) = 0, \quad z = x_1 - x_2,$$

имеет одно решение, соответствующее связанныму состоянию,

$$\psi_\varepsilon(z) = (m\varepsilon)^{1/4} \exp\left\{-\left(m\varepsilon\right)^{1/2}|z|\right\}, \quad (21)$$

где $\varepsilon = \frac{mV_0^2}{4}$ – энергия связи.

Легко видеть, что нахождение решения двухчастичного уравнения с потенциалом (20) эквивалентно построению решений уравнения свободного движения в областях $-\infty < z < 0$, $0 < z < \infty$, удовлетворяющих при $z \rightarrow 0$ граничному условию

$$\lim_{\delta \rightarrow +0} \left\{ \left(\frac{d\psi}{dz} \right)_{z=-\delta} - \left(\frac{d\psi}{dz} \right)_{z=\delta} \right\} = mV_0\psi(z=0).$$

Для трехчастичной задачи (14) следует построить решения уравнения (16) при $K^2 = 2\left(\frac{p_0^2}{3m} - \varepsilon\right)$, удовлетворяющие условиям (15) при $|z_3| = -\sqrt{3}z_2$, $z_2 < 0$; условию при $z_3 = 0$, $-\infty < z_2 < 0$:

$$\lim_{\delta \rightarrow +0} \left\{ \left(\frac{\partial\psi}{\partial z_3} \right)_{z_3=-\delta} - \left(\frac{\partial\psi}{\partial z_3} \right)_{z_3=\delta} \right\} = \sqrt{2m}V_0\psi(z_2, 0), \quad (22)$$

допускающие представление вида (8) с волновой функцией ψ_ε (21). Отметим, что ввиду симметрии условий (15) относительно отражения $z_3 \rightarrow -z_3$, соответствующего перестановке частиц I,2, искомое решение может быть представлено в виде суммы симметричной и антисимметричной по z_3 частей,

$$\psi(z_2, z_3) = \psi^{(s)}(z_2, z_3) + \psi^{(a)}(z_2, z_3),$$

каждая из которых удовлетворяет условиям (15), (22). Функция $\psi^{(a)}$ должна иметь во всей области $|z_3| < -\sqrt{3}z_2$ вид расходящейся волны (условие (22) автоматически выполняется для всех функций $\psi^{(a)}$ с непрерывными производными) с нулевыми граничными условиями (15).

Поэтому $\psi^{(a)}(z_1, z_3) \equiv 0$, и, в силу симметрии $\psi^{(s)}$, достаточно определить решение уравнения Гельмгольца (16) в области

$0 < z_3 < -\sqrt{3}z_2$ с граничными условиями

$$\frac{\partial \psi}{\partial z_3}(z_2, 0) = -\sqrt{\frac{m}{2}} V_0 \psi(z_2, 0) \quad (23.1)$$

$$\psi(z_2, -\sqrt{3}z_2) = 0. \quad (23.2)$$

Задача о трехчастичном рассеянии с взаимодействием между частицами {31}, {12}, приводящим к граничным условиям типа (23), была рассмотрена ранее в работе /19/ и эквивалентна задаче о дифракции двумерной электромагнитной волны на внутренней части проводящего клина, /20/ одна из сторон которого обладает сопротивлением (ср. (23.1)), а вторая является идеальным проводником, что соответствует условию (23.2). Коллективные эффекты в рассматриваемой задаче определяют ее симметрию и проявляются в возможности упрощения условия (22) (отметим, что взаимодействие между частицами {32} в работе /19/ отсутствует).

Вероятности различных процессов рассеяния, определенные в /18/, имеют вид

$$P(0/0) = \text{th}^2 3\beta \quad (24)$$

- вероятность упругого рассеяния на 180° ;

$$P(\theta/0) = \frac{6}{\pi} \frac{\sin^2 3\theta \operatorname{sh} 3\beta}{(\operatorname{ch} 3\beta - \cos 3\theta)(\operatorname{ch} 3\beta + \cos 3\theta)^2} \quad (25)$$

- плотность вероятности рассеяния с развалом связанного состояния, причем конечное трехчастичное состояние описывается волной, распространяющейся вдоль направления, определяемого углом θ в полярных координатах на плоскости (z_2, z_3) ($0 < \theta \leq \frac{\pi}{3}$).

Здесь $\beta = \operatorname{arctg} \frac{\sqrt{2}\varepsilon}{K}$; угол θ связан с импульсом частицы 3 в конечном состоянии соотношением

$$\cos \theta = \frac{\sqrt{\frac{6}{m}} p + \sqrt{k^2 + 2\varepsilon}}{2k}, \quad p = -\rho_3^{(\text{out})} \quad (26)$$

Величины $P(0/0)$, $P(\theta/0)$ удовлетворяют условию нормировки

$$P(0/0) + \int_0^{\pi/3} P(\theta/0) d\theta = 1.$$

Определим плотность вероятности рассеяния с импульсом частицы 3 в интервале $(p, p+dp)$, являющуюся аналогом сечения в формуле (I):

$$\frac{dw}{dp} = P(\theta/0) \left| \frac{d\theta}{dp} \right| = P(\theta/0) \sqrt{\frac{6}{m(4k^2 - (\sqrt{\frac{6}{m}} p + \sqrt{k^2 + 2\varepsilon})^2)}}, \quad (27)$$

где $p = -\rho_3^{(\text{out})}$; диапазон значений p определяется неравенствами (13).

Удобно рассмотреть вероятности (24), (27) в пределе $K \rightarrow \infty$, т.е. при энергиях падающей частицы, значительно превышающих импульс p (который предполагается изменяющимся в конечных пределах) и энергию связи ε . Согласно (24-27), найдем:

$$P(0/0)/_{K \rightarrow \infty} = \frac{18\varepsilon}{K^2} = \frac{27m\varepsilon}{p_0^2} + O\left(\frac{1}{p_0^3}\right) \quad (28)$$

$$\frac{dw}{dp}/_{K \rightarrow \infty} = \frac{4}{\pi} \frac{p^2 \sqrt{m\varepsilon}}{(p^2 + m\varepsilon)^2} + O\left(\frac{1}{p_0}\right). \quad (29)$$

В пределе $K \rightarrow \infty$ вероятность упругого рассеяния падает в рассматриваемой модели как $\frac{1}{p_0^2}$; вероятность развала с рассеянием частицы 3 на 180° при фиксированных значениях p асимптотически постоянна. Отметим, что упругий формфактор и волновая функция связанного состояния в импульсном представлении, соответствующие (21), имеют вид

$$S_{el}(q) = \frac{4me}{4me + q^2},$$

$$\psi_\Sigma(p) = \sqrt{\frac{2}{\pi}} \frac{(me)^{3/4}}{p^2 + me}.$$
(30)

Согласно импульсному приближению, вероятность упругого рассеяния на $180^\circ \sim S_{el}^2 \left(\frac{4}{3}p_0\right) \sim \frac{1}{p_0^4}$; вероятность разрыва связанных

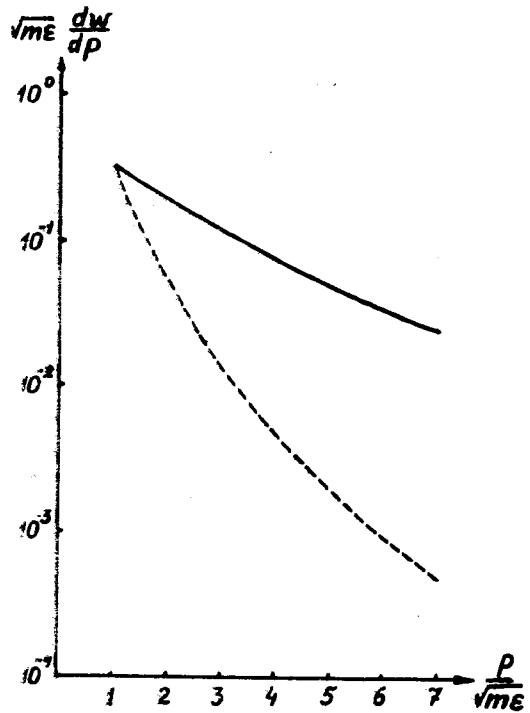


Рис. 3. Вероятность рассеяния частицы 3 на 180° с импульсом p в пределе $p_0 \rightarrow \infty$:

— точный результат,
- - - - импульсное приближение.

состояния и рассеяния частицы 3 с импульсом p на 180° , согласно (I), определяется квадратом волновой функции (30):

$$\frac{dw^{(imp)}}{dp} = \frac{4}{\pi} \frac{(me)^{3/2}}{(p^2 + me)^2}.$$
(31)

Нетрудно заметить, что точное выражение (29), учитывающее коллективные эффекты, приводит в области $p \gg \sqrt{m\epsilon}$ к вероятности рассеяния назад, значительно большей, чем это следует из соответствующей формулы (31) импульсного приближения (рис. 3). Отметим также, что условия (2,3) в рассмотренном случае выполнены при $p_0 \rightarrow \infty$, как и соотношение $\lambda = \frac{\hbar}{p_0} \ll R_{cb} \sim \frac{1}{\sqrt{m\epsilon}}$.

§ 4. Заключение

Таким образом, рассеяние на 180° в рассмотренной одномерной модели не может быть описано в импульсном приближении и определяется коллективными эффектами. В стационарной формулировке задачи рассеяния указанные эффекты независимо от начальной энергии частицы соответствуют дифракции падающей волны в плоскости относительных координат на неоднородностях, обусловленных потенциалами U_{31}, U_{32} , и не могут быть сведены к последовательным актам перерассеяния, учет которых предлагался для описания кумулятивных процессов^[21]. Поскольку рассеяние в модели является потенциальным, превышение над импульсным приближением не связано с "релятивизацией"^[12] волновой функции связанных состояний, приводящей к некоторому возрастанию высокомомпульсной части спектра частиц, рассеянных на 180° . Следует также отметить, что, ввиду предположения о нулевом радиусе сил, действующих между частицами,

рассмотренный механизм отличается от предложенного в /3/ -
условие $R_{\text{эфф}} \gg r$ выполняется в модели независимо от величины
переданного импульса.

Автор глубоко благодарен В.А.Мещерякову за внимание к работе
и А.Б.Говоркову за полезные обсуждения.

18. E.Gerjuoy. Phil.Trans. A270, 197 (1972).
19. J.B.McGuire, C.Hurst. J.Math.Phys., 13, 1595 (1972).
20. W.Williams. Proc.Roy.Soc., A252, 376 (1959).
21. В.В.Копелюович. Письма в ЖЭТФ, 23, 348 (1976);
ЯФ, 26, 168 (1977).

Литература

1. M.L.Goldberger. Phys.Rev., 74, 1269 (1948).
2. М.Гольдбергер, К.Ватсон. Теория столкновений."Мир", 1967.
3. Д.И.Блохинцев. ЖЭТФ 33, 1295 (1957).
4. А.М.Балдин и др. ОИЯИ Р1-5819, 1971; ЯФ 18, 79 (1973).
5. С.Б.Герасимов, Н.Гиорданеску. ОИЯИ Р2-7687, Дубна (1974).
6. В.Д.Балков и др. ЯФ, 18, 1246 (1973).
7. А.М.Балдин и др. ЯФ, 21, 461 (1975).
8. А.М.Балдин. Краткие сообщения по физике. I, стр. 35 (1971).
В.С.Ставинский. ОИЯИ Р2-9528, Дубна (1976).
9. А.В.Ефремов. ЯФ, 24, 1208 (1976); JINR E2-9529, Dubna (1976).
10. В.В.Буров, В.К.Лукьянов, А.И.Титов. ОИЯИ Р2-10244, Дубна (1976);
E2-10680, Дубна (1977).
- II. Б.Н.Калинкин и др. ОИЯИ Р2-10783, Р2-10785, Дубна, (1977).
- I2. Г.А.Лобов, В.Е.Маркушин, В.В.Соловьев, И.С.Шапиро. ЯФ 25,
192 (1977).
- I3. H.M.Nussenzweig. Proc.Roy.Soc., A264, 408 (1961).
- I4. J.B.McGuire. J.Math.Phys., 5, 622 (1964).
- I5. А.Зоммерфельд. Оптика, ИЛ, 1953, стр. 323.
- I6. М.И.Конторович, Н.Н.Лебедев. ЖЭТФ 8, II92 (1938).
- I7. F.Oberhettinger. J.Res. of N.B.S. 61, 343 (1958).

Рукопись поступила в издательский отдел
7 декабря 1977 года.